

ЧИСЛЕННОЕ МОДЕЛИРОВАНИЕ НЕПРЕРЫВНО ВРАЩАЮЩИХСЯ ДЕТОНАЦИОННЫХ ВОЛН В ВОДОРОДО-КИСЛОРОДНЫХ СМЕСЯХ *

С. А. Ждан

Институт гидродинамики им. М.А. Лаврентьева

e-mail: zhdan@hydro.nsc.ru Проспект М. А. Лаврентьева, 15

А.С. Сырямин

Рассмотрена физическая модель явления вращающейся детонационной волны (ВДВ) и ее особенности, связанные с периодичностью поперечных детонационных волн (ПДВ). Сформулирована двумерная нестационарная математическая модель ВДВ в кольцевых камерах сгорания ракетного типа. Проведено ее численное исследование для водородо-кислородных смесей. Выделены и проанализированы определяющие параметры возникающей периодической задачи. Показано, что период (расстояние между соседними ПДВ) нельзя задавать произвольно, он является собственным числом сформулированной в рамках уравнений Эйлера математической задачи, которое необходимо искать в процессе ее решения.

Сформулированы основные принципы, которым нужно следовать при численном моделировании двигателя с вращающейся детонационной волной (ВДВД). Проведен анализ ряда работ последнего времени о двумерном и трехмерном численном моделировании ВДВД. Установлено, что нарушение хотя бы одного из сформулированных основных принципов приводит к получению ошибочных результатов, которые не могут наблюдаться в реальном физическом процессе ВДВ.

В качестве альтернативы традиционному сжиганию топлив в турбулентном пламени в настоящее время рассматривается способ их детонационного сжигания. Он позволяет интенсивно, более термодинамически выгодно и стабильно производить сжигание различных топлив в камерах небольших габаритов, определяемых характерным размером фронта детонационной волны [1].

Для водородо - кислородных смесей в кольцевых цилиндрических камерах сгорания типа ракетного двигателя при раздельной подаче компонентов через форсунки режимы непрерывной спиновой детонации были получены в [2]. Физико-математическая модель непрерывной вращающейся детонации в двумерной нестационарной газодинамической постановке была сформулирована в [3]. Там же представлены первые результаты расчетов динамики ПДВ для стехиометрической водородо-кислородной смеси в кольцевой цилиндрической камере. Комплексное расчетно-экспериментальное исследование непрерывной спиновой детонации [2] позволило провести сравнение результатов численного моделирования с экспериментом, показавшее идентичность ПДВ по структуре и удовлетворительное соответствие по скорости непрерывной детонации и давлению в камере.

*Работа выполнена при частичной финансовой поддержке Российского фонда фундаментальных исследований (код проекта 10-01-00203).

Цель данной работы численно исследовать в двумерной нестационарной постановке задачу о непрерывной детонации в кольцевой камере для нестехиометрических водородо-кислородных смесей. Рассчитать структуру газодинамического течения и собственные значения периодической задачи. Выяснить влияние коэффициента избытка горючего на параметры ПДВ и величины удельного импульса.

Рассмотрим задачу о непрерывном детонационном сжигании нестехиометрических водородо-кислородных смесей ($2 \phi H_2 + O_2$, ϕ - коэффициент избытка горючего) в камере сгорания ЖРД кольцевой геометрии с расширяющимся соплом (рис. 1а, диаметр d_c , длина канала постоянного сечения L_1 , длина камеры L , ширина кольцевого канала на входе Δ и на выходе Δ_{exit}). Течение происходит в кольцевом пространстве камеры с границами Γ_1 (верхний торец камеры, через форсунки в котором поступает горючая смесь) и Γ_2 (открытый конец камеры, через который вытекают продукты сгорания). Поскольку $\Delta \ll d_c$, то аналогично [3], можно разрезать по вертикали кольцевую область и развернуть ее в прямоугольную область решения $\Omega = (0 < x < L, 0 < y < l)$, которая представлена на рис. 1б.

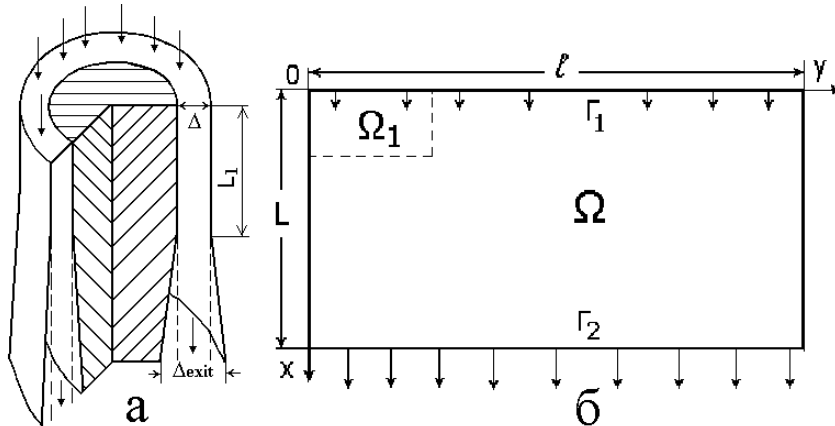


Рис. 1. Схема кольцевой камеры сгорания с расширяющимся соплом (а) и область численного решения задачи (б).

Пусть в некоторый момент времени после начала вдува через границу Γ_1 реагирующей смеси в части области решения Ω_1 выделяется энергия, достаточная для инициирования детонации. В результате инициирования в области Ω будет распространяться нестационарная детонационная волна. Требуется определить ее динамику, структуру, а также условия выхода на самоподдерживающийся режим непрерывной детонации в зависимости от определяющих параметров задачи.

Математическая модель непрерывной вращающейся детонации в двумерной нестационарной газодинамической постановке и замыкающие соотношения подробно описаны в [3], поэтому здесь не приводится. Задача для $2 \phi H_2 + O_2$ смесей решалась численно по схеме Годунова Колгана.

Определяющие параметры задачи. Решение зависит от параметров

$$p_m, T_m, \mu_m, \gamma, S_*/S_0, \phi, \Delta_{exit}/\Delta, L_1, L, l. \quad (1)$$

Здесь первые пять - параметры в системе подачи смеси: давление торможения p_m , температура торможения T_m , молекулярная масса μ_m , показатель адиабаты γ и отношение площадей критического и выходного сечений S_*/S_0 на тяговой стенке, ко-

торые задают начальный удельный расход смеси $G_0 = \left(\frac{2}{\gamma+1}\right)^{\frac{0.5(\gamma+1)}{\gamma-1}} \sqrt{\gamma p_m \rho_m} (S_*/S_0)$, где $\rho_m = p_m \mu_m / (RT_m)$. Последние четыре - масштабные факторы: отношение ширины кольцевого канала на выходе к ширине на входе Δ_{exit}/Δ , длина канала постоянного сечения L_1 , общая длина камеры L вдоль оси x и период задачи l вдоль оси y . Из перечисленных в (1) определяющих параметров – последний параметр период задачи l является особым. Его нельзя задавать произвольно. В противном случае можно получить целый класс "паразитных" решений, не имеющих отношения к реальному физическому явлению. Период l является собственным значением сформулированной в рамках уравнений Эйлера математической задачи о непрерывной вращающейся детонационной волне, которое необходимо искать в процессе ее решения.

Непонимание этого основного принципа при численном моделировании непрерывно вращающейся детонации привело авторов работ [4], [5], о чём будет сказано ниже, к получению результатов расчетов, относящихся к "паразитным" периодическим решениям, которые не описывают реальную непрерывно вращающуюся детонацию в камерах сгорания типа ЖРД.

Для определения влияния на параметры и структуру непрерывной детонации отклонения исходного состава водородокислородной смеси от стехиометрии численное исследование выполнено для смесей четырех составов: а) две бедных по горючему - $H_2 + O_2$ ($\phi = 0.5$); $4/3H_2 + O_2$ ($\phi = 2/3$); б) две богатых по горючему смеси - $3H_2 + O_2$ ($\phi = 1.5$); $4H_2 + O_2$ ($\phi = 2$). С целью последующего анализа результатов расчетов для нестехиометрических смесей и сопоставления их с результатами численного моделирования для стехиометрии [2], [3] предварительные расчеты проведены для цилиндрической камеры при таких же значениях определяющих параметров, как и в [3]: $p_m = 10$ атм, $T_m = 300$ К, $\gamma = 1.4$, $S_*/S_0 = 0.0657$, $\Delta_{exit}/\Delta = 1$, $L_1 = L = 4$ см.

Периодическое решение с ПДВ. Для нахождения периодического решения с ПДВ необходимо задать период задачи l . Типичные расчетные зависимости безразмерного давления $P(t) = p(x_1, y_1, t)/p_0$ в фиксированной точке с координатами ($x_1 = 0.5$ см, $y_1 = 0$) от времени t (мс), отсчитываемого от момента иницирования ПДВ представлены на рис. 2 для двух нестехиометрических смесей $\phi = 0.5$ (а) и $\phi = 2$ (б). Здесь $p_0 = 1.013 \cdot 10^5$ Па.

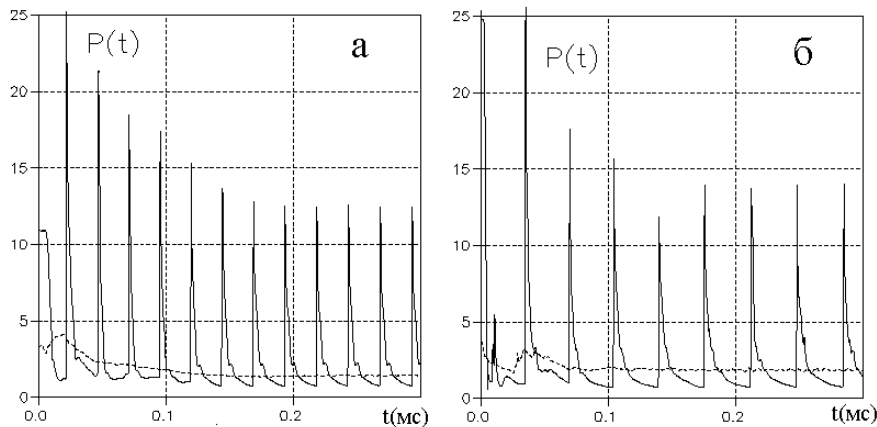


Рис. 2. Зависимости безразмерного давления $P(t)$ от времени t (мс) в точке ($x_1 = 0.5$ см, $y_1 = 0$) для двух смесей: а) $H_2 + O_2$ при $l = 5$ см; б) $4H_2 + O_2$ при $l = 12$ см.

Видно, что для обоих вариантов давление меняется немонотонно - пульсирует со

временем. Причем на ранней стадии процесса (пять-шесть пульсаций) давление совершают нерегулярные колебания с уменьшающейся амплитудой, а затем переходит на периодические колебания со следующими значениями периода Δt , максимальной $P_{max} = p_{max}/p_0$ и минимальной $P_{min} = p_{min}/p_0$ амплитудами и среднюю за период скорость ПДВ $\langle D \rangle = l/\Delta t$: а) $\Delta t = 24.6$ мкс, $P_{max} \approx 12.5$, $P_{min} \approx 0.75$, $\langle D \rangle = 2.03$ км/с; б) $\Delta t = 42.7$ мкс, $P_{max} \approx 13.7$, $P_{min} \approx 0.74$, $\langle D \rangle = 2.81$ км/с. В аналогичных расчетах, выполненных для смесей $4/3\text{H}_2 + \text{O}_2$ и $3\text{H}_2 + \text{O}_2$, также был получен выход на периодический режим с непрерывно вращающейся ПДВ.

Зависимость l_{min} от ϕ . Для того чтобы убедиться, что представленные на рис. 2 периодические решения не относятся к "паразитным" периодическим решениям о непрерывной вращающейся детонации для каждого из пяти исследовавшихся составов $\text{H}_2 - \text{O}_2$ смеси при фиксированных значениях параметров в системе подачи были найдены собственные значения задачи - минимальный период $l_{min}(\phi)$. При фиксированном ϕ уменьшая величину периода l , численно решалась последовательность периодических задач до тех пор, пока не происходил "срыв" ПДВ и унос фронта горения и продуктов сгорания вниз по потоку (см. [3]), тем самым определялся "минимальный" период задачи $l_{min}(\phi)$, величина которого естественно зависит от состава смеси. После нахождения $l_{min}(\phi)$ определяем допустимую область решений, имеющих физический смысл

$$l_{min}(\phi) < l < 2l_{min}(\phi). \quad (2)$$

Все периодические решения, полученные при $l > 2l_{min}(\phi)$, являются "паразитными". Наличие "паразитных" периодических решений связано с тем, что газодинамические уравнения Эйлера не содержат механизма размножения ПДВ, который наблюдается в экспериментах [1],[2] при увеличении диаметра камеры или удельного расхода горючей смеси и обусловлен эффектами вязкости и теплопроводности, имеющими определяющее значение на боковых стенках кольцевой камеры сгорания.

Зависимость l_{min} от удельного расхода g . В результате проведенных нами для бедной ($\phi = 0.5$), стехиометрической и богатой ($\phi = 2$) смесей систематических расчетов, в которых варьировалась величина давления торможения смеси p_m/p_0 в ресивере, получены количественные данные о минимальном периоде задачи l_{min} . На рис. 3 представлены расчетные значения минимального периода l_{min} в зависимости от удельного расхода водородно-кислородной смеси g ($\text{кг}/\text{с} \cdot \text{м}^2$) для стехиометрической (рис. 3а, точки 1) и нестехиометрических (рис. 3б) смесей. На рис. 3а также изображены - допустимая область периодических решений (заштрихована), экспериментальные значения расстояний между соседними ПДВ [2], а также расчетные данные [4], [5].

Видно, что значения минимального периода l_{min} во-первых, убывают с ростом удельного расхода смеси g , во-вторых, коррелируют с имеющимися экспериментальными данными [2]. Также очевидно, что все результаты расчетов авторов работ [4] и [5] находятся в области "паразитных" периодических решений и не имеют отношения к реальному режиму непрерывно вращающейся детонации водородо-кислородной смеси.

Итак, при математическом моделировании и численном решении периодической задачи о непрерывной детонации в кольцевой камере сгорания необходимо сначала вычислять собственное значение задачи l_{min} , которое позволяет отсечь "паразитные" решения. Кроме того, корреляция (см. рис. 3) собственного значения l_{min} с экспериментом дает основание говорить о правильности используемых нами замыкающих уравнений химической кинетики и достоверности получаемых результатов численного моделирования непрерывно вращающейся детонации.

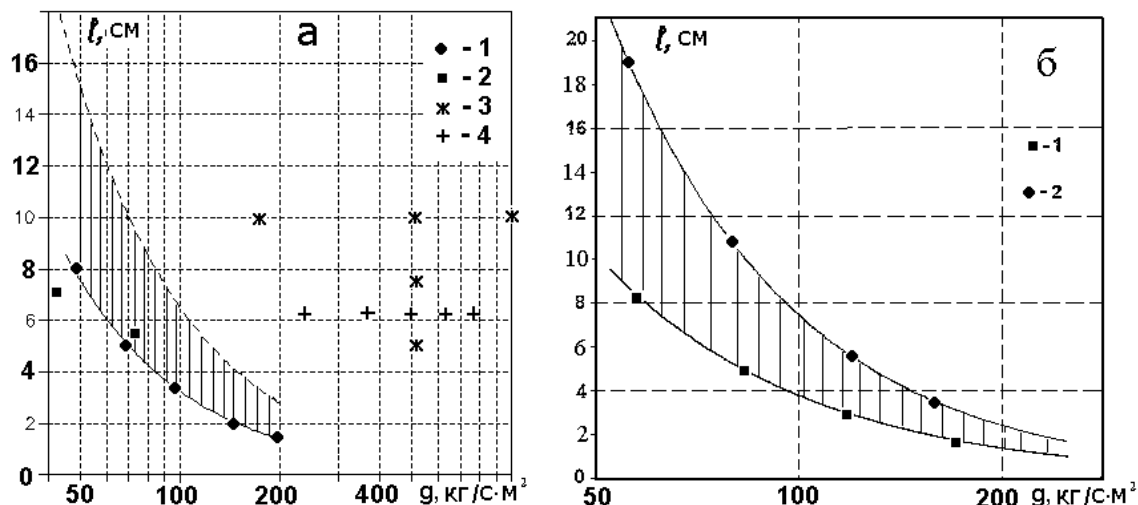


Рис. 3. Зависимости минимального периода задачи l_{min} , от удельного расхода g (кг/с · м²): а) 2 – эксперимент [2], 3 – [4], 4 – [5]; б) 1 - $\text{H}_2 + \text{O}_2$; 2 – $4\text{H}_2 + \text{O}_2$.

Список литературы

- [1] BYKOVSKII F.A., ZHDAN S.A. AND VEDERNIKOV E.F. CONTINUOUS SPIN DETONATIONS // JOURNAL OF PROPULSION AND POWER. 2006. VOL. 22, No. 6. P. 1204–1216.
- [2] Быковский Ф.А., Ждан С.А., Ведерников Е.Ф. ИССЛЕДОВАНИЕ НЕПРЕРЫВНОЙ СПИНОВОЙ ДЕТОНАЦИИ ВОДОРОДОКИСЛОРОДНЫХ СМЕСЕЙ. 1. КАМЕРЫ КОЛЬЦЕВОЙ ЦИЛИНДРИЧЕСКОЙ ГЕОМЕТРИИ // Физика горения и взрыва. 2008. Т. 44, № 2, С. 32-45.
- [3] Ждан С.А., Быковский Ф.А., Ведерников Е.Ф. МАТЕМАТИЧЕСКОЕ МОДЕЛИРОВАНИЕ ВРАЩАЮЩЕЙСЯ ВОЛНЫ ДЕТОНАЦИИ В ВОДОРОДНО-КИСЛОРОДНОЙ СМЕСИ // Физика горения и взрыва. 2007. Т. 43, № 4, С. 90-101.
- [4] DAVIDENKO D.M., GOKALP I., KUDRYAVTSEV A.N. NUMERICAL STUDY OF THE CONTINUOUS DETONATION WAVE ROCKET ENGINE // AIAA 2008-2680, 2008, pp. 1 - 8.
- [5] SHAO Y.T., LIU M., WANG J.P., FUJIWARA T. NUMERICAL INVESTIGATION OF CONTINUOUS DETONATION ENGINE // PROCEEDINGS INTERN. 22-ND ICDERS, MINSK, BELARUS, 2009, CD ROM, No. 12.